# 核磁共振法测定 13-顺阿维 A

刘 阳,张才煜,程奇蕾,杨化新\*,何 中国食品药品检定研究院,北京 100050

摘 要:目的 建立核磁共振法测定 13-顺阿维 A。方法 采用  $^{1}$ H-NMR 测定 13-顺阿维 A,通过样品与内标物质响应峰面 积比较计算样品的质量分数以及其中残留溶剂。结果 以 δ5.64 处定量峰和 δ8.45 处内标峰面积比值与 13-顺阿维 A 和 1,4-对硝基苯质量比进行线性回归,线性关系良好。13-顺阿维 A 的质量分数为 98.5%, RSD 值为 1.5% (n=3), 重复性良好, 与 质量平衡法测定结果一致;样品中残留溶剂为四氢呋喃,其质量分数为 1.0%。结论 核磁共振法测定 13-顺阿维 A 快速、 准确、方便,结果可靠,可以用来进行标准物质的测定。

关键词: 13-顺阿维 A; 核磁共振; 标准物质; 测定

中图分类号: R927.1 文献标志码: A 文章编号: 1674 - 5515(2014)02 - 0251 - 04

**DOI:** 10.7501/j.issn.1674-5515.2014.02.008

# Determination of 13-cis acitretin by nuclear magnetic resonance

LIU Yang, ZHANG Cai-yu, CHENG Qi-lei, YANG Hua-xin, HE Lan National Institutes for Food and Drug Control, Beijing 100050, China

Abstract: Objective To establish a nuclear magnetic resonance (NMR) method to determine the content of 13-cis acitretin. Methods <sup>1</sup>H-NMR was used to characterize 13-cis acitretin. The mass fraction and residue solvent of 13-cis acitretin were calculated by comparing the peak area of 13-cis acitretin with the internal reference substance. Results There was a good regression between quantitative peaks ration of 13-cis acitretin and internal reference substance versus mass ratio of  $\delta$ 5.64 and 8.45. Based on NMR, the mass fraction of 13-cis acitretin was 98.5% with RSD of 1.5% (n = 3) and the residual solvent was tetrahydrofuran with its mass fraction of 1.0%. Conclusion It is a rapid, convenient, and precise method for the determination of 13-cis acitretin by NMR, and the results can be used in reference substance assay experiment.

Key word: 13-cis acitretin; nuclear magnetic resonance; standard substance; determination

阿维 A 为抗皮肤角化异常治疗药物,是口服治 疗银屑病的主流用药,在《中国药典》2010年版二 部、美国药典(USP)34版、欧洲药典(EP)7.7 和英国药典(BP) 2011 中均有收载。13-顺阿维 A 是阿维 A 的异构体 (图 1),《中国药典》2010年版 第一增补本中以杂质对照品外标法测定阿维 A 中 13-顺阿维 A。因此,准确测定 13-顺阿维 A 对照品 对阿维 A 药品质量控制具有重要意义。质量平衡法 测定样品时需要高效液相色谱法测定样品纯度[1-2], 测定样品中水分、残留溶剂以及炽灼残渣,一般需 要大于 2 g 样品,对于 13-顺阿维 A 类制备困难且

比较贵重的样品,质量平衡法的应用受到一定局限。 由于残留溶剂的种类未知,样品中残留溶剂也无从 检查。研究一种使用少量样品(少于100 mg)能准 确测定其中残留溶剂种类、含量以及 13-顺阿维 A 含量的方法就显得十分必要。近年来,核磁共振技 术开始越来越多地应用于定量检测[3-6]。USP 35 和 EP 7.7 中利用核磁共振技术对十几种药品进行质量 控制[7-8]。《中国药典》2010年版中正式将核磁共振 定量技术收载于附录[9]。本实验利用核磁共振定量 技术, 选取合适的内标物质、试验参数设置和定量 峰, 快速简便地测定了 13-顺阿维 A。

收稿日期: 2013-12-10

基金项目: 国家重大新药创制专项(2011ZX09303-001); 国家质量监督检验检疫总局公益性行业科研专项(2012104008-1-14)

作者简介: 刘 阳, 助理研究员, 博士, 研究方向: 药物分析。Tel: (010)67095319 E-mail: liuyang1819@126.com

\*通信作者 杨化新 E-mail: yanghx@nicpbp.org.cn

何 兰 E-mail: helan1961@aliyun.com

图 1 阿维 A 和 13-顺阿维 A 的结构

Fig. 1 Structures of acitretin and 13-cis acitretin

## 1 仪器与试药

## 1.1 仪器

Advance 400 型核磁共振仪(瑞士布鲁克公司), 14.1T 超导磁体, 5 mm 双核 z-梯度探头, Topspin2.3 试验控制,数据处理软件; Agilent 6890 气相色谱仪; Mettler Toledo XP205 电子天平。

## 1.2 样品及试剂

13-顺阿维 A (重庆华邦胜凯制药有限公司), 氘代 DMSO (Sigma 公司,北京金欧翔科贸公司分装),1,4-对硝基苯(TCI Chemical),四氢呋喃(Fisher Scientific)。

## 2 方法与结果

# 2.1 供试品溶液的制备

精密称取 13-顺阿维 A 样品和内标物质适量,加入一定体积的氘代 DMSO,配制成 29.1、7.4 mmol/L 的溶液,转入 5 mm 核磁管中备用。

## 2.2 实验条件

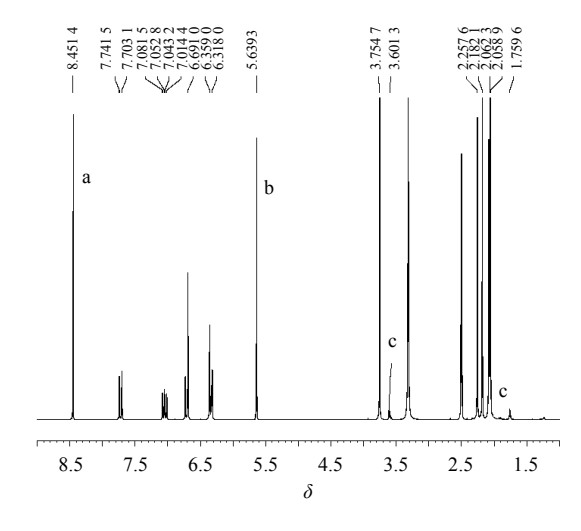
采用 zg30 脉冲序列在恒温(25 ℃)下获取 <sup>1</sup>H-NMR 谱。参数设置: 谱宽(SWH)8 223 Hz,射频中心频率(O1P): 2 471 Hz,采样点数(TD)64K,采样时间(AQ)3.98 s,弛豫时间(D1)15 s,采样次数(NS)16,空扫次数(DS)2,增益(RG)203。

### 2.3 图谱测定

采集图谱,采集样品和内标物质的核磁共振响 应峰,见图 2。

## 2.4 定量峰的选择

选择 13-顺阿维 A 中  $\delta$ 5.64 处独立单峰,此峰与其他响应峰分离良好,适合作为定量峰。与此同时,阿维 A 样品的 14 位氢出现在  $\delta$ 5.79,与 13-顺阿维 A 定量峰不重叠,证明 13-顺阿维 A 待测品中不含有阿维 A。见表 1。



a-内标物质峰 b-13-顺阿维 A 峰 c-残留溶剂峰 a-peak of internal standard b-peak of 13-cis acitretin c-peaks of residual solvents

图 2 13-顺阿维 A 与内标物质的核磁共振响应峰 Fig. 2 NMR peaks of 13-cis acitretin and internal standard

表 1 13-顺阿维 A 的 <sup>1</sup>H-NMR 谱解析 Table 1 <sup>1</sup>H-NMR analysis of 13-cis acitretin

δ	氢个数	峰裂分	J/Hz	峰归属
2.06~2.26	15			16, 17, 19,
				20, 21
3.75	3	S		18
5.64 (定量峰)	1	S		14
6.32~6.36	2			8, 10
6.69, 6.73	2			4, 7
7.01	1	dd	11.52	11
7.70	1	d	15.28	12

### 2.5 仪器参数设定

弛豫延迟时间是每次脉冲发射前的等待时间。 弛豫延迟时间的设定必须使待测样品和内标物质中 质子完全弛豫,样品与内标物质相应峰面积的比值 才会保持相对恒定。短的弛豫延迟时间会对积分结 果产生较大的影响,增加定量结果的误差。Pauli 等<sup>[4]</sup>提出,为了保证积分结果的准确,弛豫延迟时间应≥5 倍的纵向弛豫时间。为了测出适宜的弛豫 延迟时间设定,分别测定并计算了在弛豫延迟时间 为1、5、10、15、20、25 s 时样品定量峰与内标峰 面积比值变化,见图 3。可以看出,弛豫延迟时间 长于 15 s 后,样品定量峰与内标物质峰面积比不再 变化,因此弛豫延迟时间设定为 15 s。

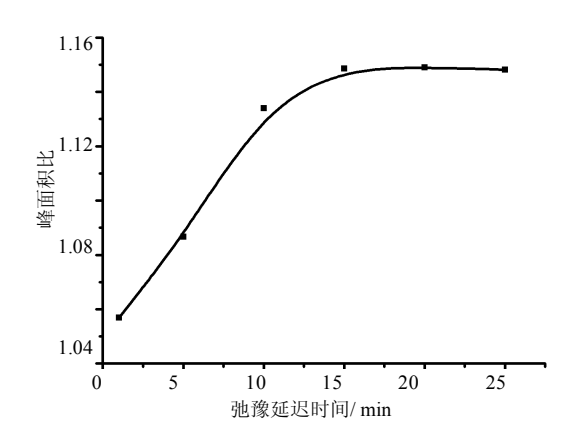


图 3 弛豫延迟时间对 13-顺阿维 A 及内标物质定量峰面积 比的影响

Fig. 3 Effect of relaxation time on peak area ratio of 13-cis acitretin vs internal standard

## 2.6 方法学研究

2.6.1 线性关系考察 准确称取 13-顺阿维 A 18.85、18.09、18.16、17.95、18.31 mg 和 1,4-对硝 基苯 13.09、9.01、10.35、17.39、20.41 mg, 以不 同的质量比制备 5 个待测样品,测定 <sup>1</sup>H-NMR 谱, 记录积分面积。以  $\delta 8.46$  处定量峰和  $\delta 5.64$  处内标峰 面积比值为纵坐标,13-顺阿维 A 和 1,4-对硝基苯质 量比为横坐标做线性回归,得回归方程 Y=1.575 8 X+0.0012, $R^2=0.9996$ 。结果表明以 1.4-对硝基苯 为内标时测定样品中13-顺阿维A的线性关系良好。 2.6.2 精密度试验 取编号 1 样品,制备供试品溶 液,连续测定6次,记录积分面积,计算定量峰和 内标峰面积比值,结果 RSD 值为 0.75%。

**2.6.3** 重复性试验 取编号 1 样品, 平行 3 份, 制 备供试品溶液,进行测定,以定量峰与内标峰面积 比值计算得 13-顺阿维 A 的平均质量分数为 98.5%, RSD 为 1.3%。

2.6.4 稳定性试验 取编号 1 样品,制备供试品溶 液,分别在 0、1、2、4、8、12 h进行测定,计算 样品定量峰与内标定量峰面积比值,结果其 RSD 值 为 1.05%, 表明供试品溶液室温放置 12 h 稳定。

#### 2.7 定量结果

从图 2 中可以看到  $\delta$ 1.76、3.60 处出现 2 个杂质 峰,峰位移与四氢呋喃的化学位移一致,可以确定 13-顺阿维 A 待测样品中的残留溶剂为四氢呋喃。

平行取 3 份样品,制备供试品溶液,采用 13-顺阿维 A 响应峰与内标峰, 计算 13-顺阿维 A 质量 分数。

 $W_{\rm s} = (A_{\rm s}/n_{\rm s} \times M_{\rm s} \times m_{\rm r}) / (A_{\rm r}/n_{\rm r} \times M_{\rm r} \times m_{\rm s}) \times W_{\rm r}$ 

 $A_s$ 为 13-顺阿维 A 的峰面积,  $n_s$ 为 13-顺阿维 A 峰包含 的氢原子数,  $M_s$ 为 13-顺阿维 A 的相对分子质量,  $A_r$ 为内标 1,4-对硝基苯的峰面积, $n_r$ 为 1,4-对硝基苯包含的氢原子数,  $M_{\rm r}$ 为 1,4-对硝基苯的对分子质量,  $m_{\rm s}$ 为称取的 13-顺阿维 A 质量, $m_r$ 为称取的 1,4-对硝基苯质量, $W_r$ 为 1,4-对硝基苯的 质量分数

根据图 $2 + \delta 5.64$  处13-顺阿维A定量峰与 $\delta 8.45$ 处内标物质峰面积相比,重复试验3次,计算出13-顺阿维 A 供试品的质量分数为 98.5%, RSD 值为 1.3%。见表 2。

利用高效液相法测定13-顺阿维A的质量分数, 利用卡氏水分仪测定了 13-顺阿维 A 中水分, 按质 量平衡法计算出供试品中 13-顺阿维 A 的质量分数 为 99.0%,与核磁共振定量计算的值基本吻合。见 表 2。

表 2 核磁共振法和质量平衡法测定 13-顺阿维 A Table 2 Results of 13-cis acitretin content by NMR and mass balance method

<del></del> 编 号	13-顺阿维 A/%			
细与	NMR 法	质量平衡法		
1	98.4	99.0		
2	99.8	99.2		
3	97.2	98.8		

取  $\delta 3.60$  处峰,用同样的方法计算样品中四氢 呋喃的质量分数为1.1%。为了验证结果的准确性, 利用顶空气相色谱测定了 13-顺阿维 A 样品中残留 溶剂,结果显示样品中含有四氢呋喃 1.0%,与核磁 共振定量的结果一致。

#### 3 讨论

理想的内标化合物应当满足化学惰性、易溶于 溶剂、不与样品反应且响应峰与样品响应峰有良好 的分离。常用的内标物质包括一些固态高纯的化合 物,如二甲基砜、间苯二甲酸甲酯和顺丁烯二酸等。 本实验中选择的 1,4-对硝基苯在溶剂中稳定,分子 中的 4 个氢等价, 在核磁共振图谱中只有 1 个相应 峰 ( $\delta 8.5$ ),易于分辨,与 13-顺阿维 A 各峰均有较 好的分离。

在核磁共振定量试验中, 峰面积需要手动积分 且直接影响到最终定量结果的准确性。要达到重复 性好、标准偏差小的要求, 应将核磁共振图谱放大, 手动调整相位后, 取轮廓线与基线的刚好重合处为

**Drugs & Clinic** 

起点和终点进行积分。应平行积分 5 次,取平均值 作为最后峰面积。

根据德国计量科学研究院的研究, 在使用有证 标准物质作为内标物质的情况下, 核磁共振定量测 得待测样品的含量误差一般小于 1%[10], 因此本实 验采用核磁共振定量方法的操作简单、专属性强, 其检测限和定量限可以达到微克至纳克级,可以满 足测定 13-顺阿维 A 对照品的要求。

#### 参考文献

- [1] Sharma P, Soni K, Guttikar S, et al. Separation of all-trans- and 13-cis-isomers of acitretin on a reversedphase column, optimization of stability conditions and their simultaneous quantitation in human plasma by liquid chromatography-tandem mass spectrometry [J]. Anal Methods, 2012, 4(3): 791-806.
- [2] 吴 芸, 沈红梅. 一种阿维 A 有关物质的分离及测定

- 方法 [P]. 中国: 102109500A, 2011-06-29.
- [3] O'Neill I K, Pringuer M A. Quantitative NMR analysis [J]. Chem Ind (London), 1975(12): 494-495.
- [4] Pauli G F, Jaki B U, Lankin D C. Quantitative <sup>1</sup>H NMR: development and potential of a method for natural products analysis [J]. J Nat Prod, 2005, 68(1): 133-149.
- [5] 于小波, 沈文斌, 相秉仁. 定量核磁共振技术及其在药 学领域中的应用进展 [J]. 药学进展, 2010, 34(1):
- [6] 张才煜, 吴建敏, 李 憬, 等. 核磁共振法定量测定氢 溴酸东莨菪碱的绝对含量 [J]. 药物分析杂志, 2012, 32(2): 327-329.
- [7] USP [S]. 35:761
- [8] EP [S]. 7.7: 2.2.33.
- 中国药典 [S]. 二部. 2010: 附录 IX K
- [10] Malz F, Jancke H. Validation of quantitative NMR [J]. J Pharm Biomed Anal, 2005, 38(5): 813-823.